

GEOPOTENTIEL:PA.r 00/AC-P82T8.r 00/AC

(1. m)

16 simulations (500 hPa) de 102 h du 20090208 au 20090227

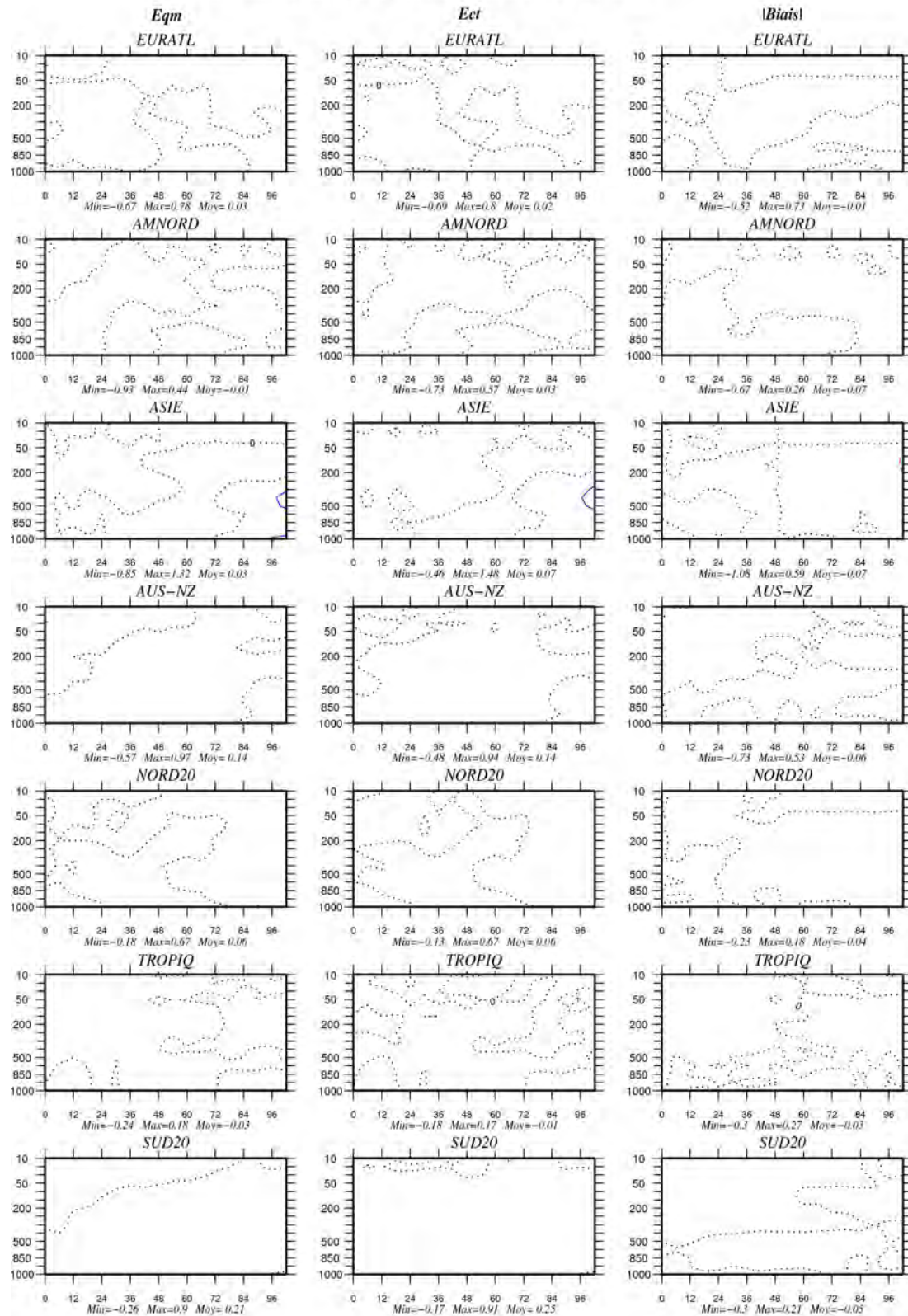


Figure 30: Scores pour le geopotentiel: 82T8 contre PA, par rapport a l'analyse ECMWF

HUMIDITE:PA.r 00/AC-P82T8.r 00/AC

(1. %)

16 simulations (500 hPa) de 102 h du 20090208 au 20090227

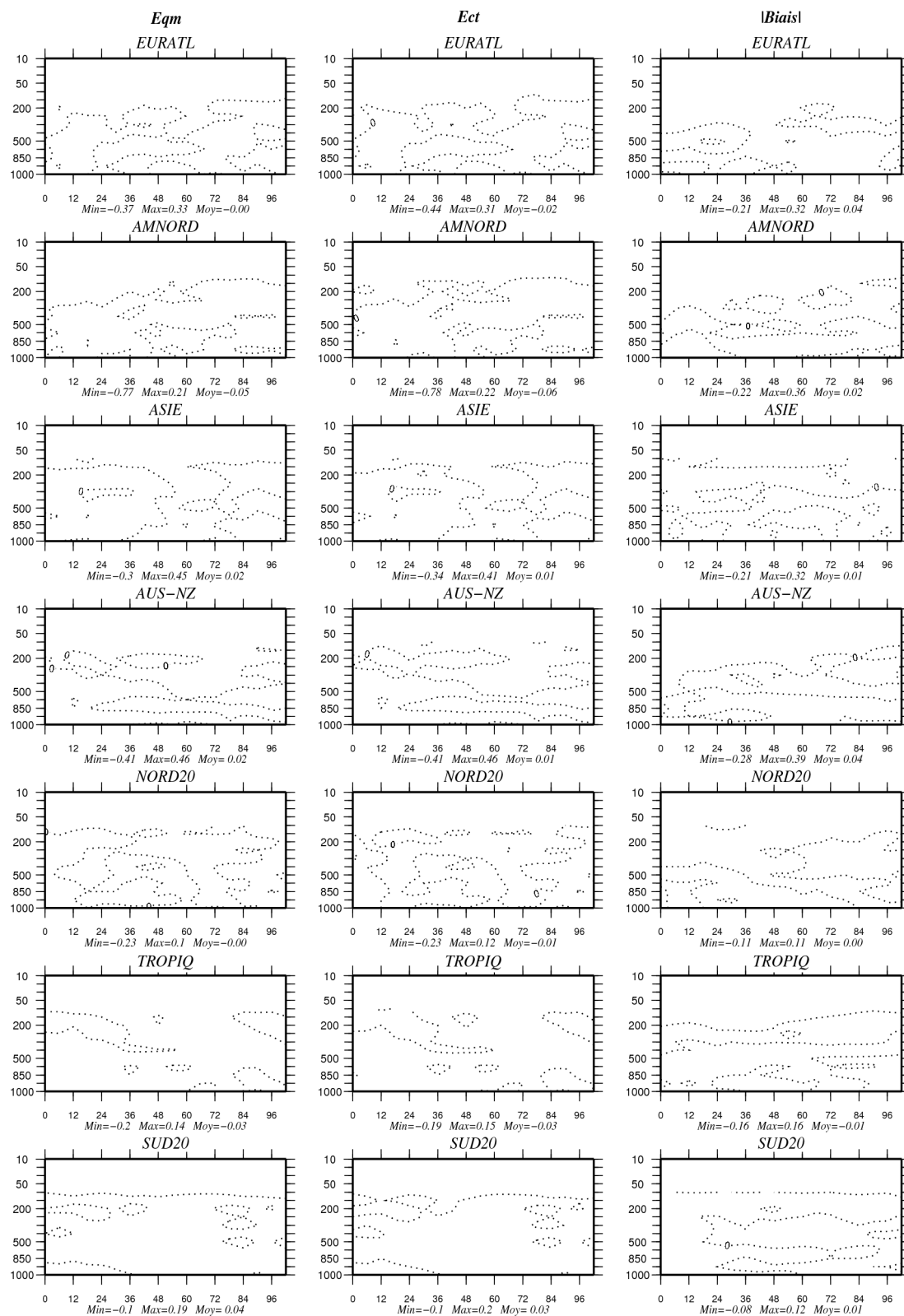


Figure 31: Scores pour l'humidité spécifique: 82T8 contre PA, par rapport a l'analyse ECMWF

TEMPERATURE:PA.r 00/AC-P82T8.r 00/AC

(0.05 K)

16 simulations (500 hPa) de 102 h du 20090208 au 20090227

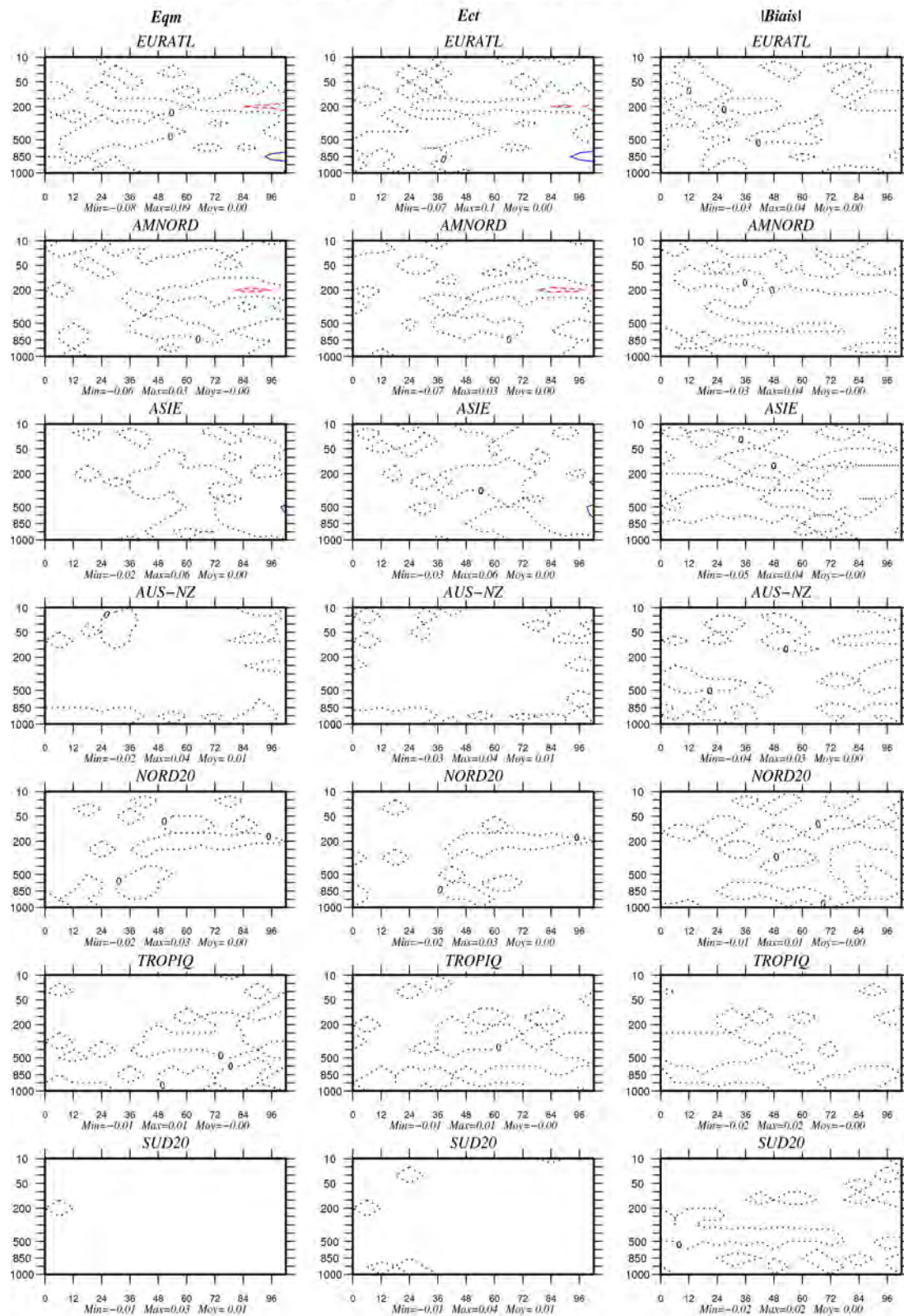


Figure 32: Scores pour la température: 82T8 contre PA, par rapport a l'analyse ECMWF

VENT:PA.r 00/AC-P82T8.r 00/AC

(0.2 m/s)

16 simulations (500 hPa) de 102 h du 20090208 au 20090227

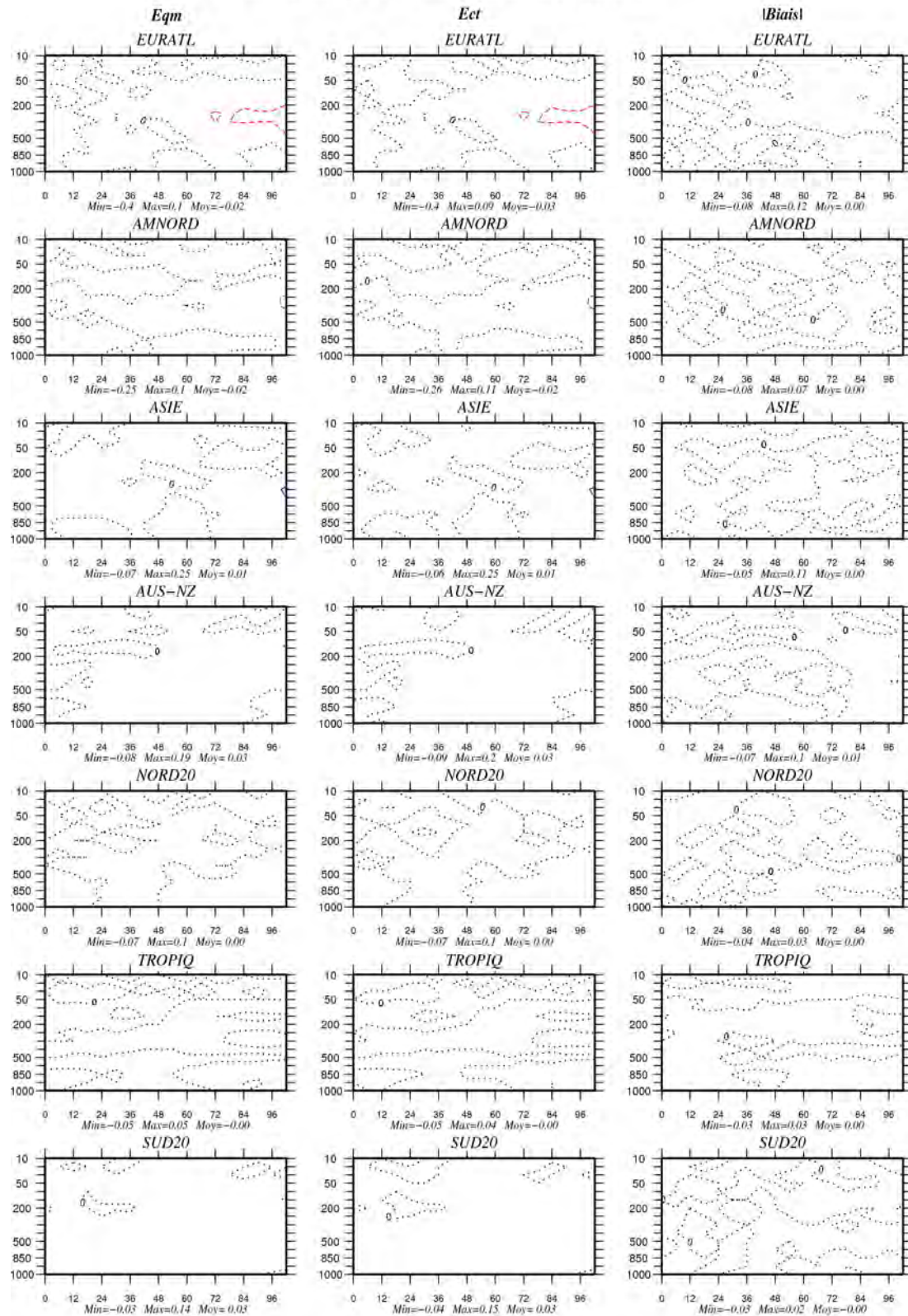


Figure 33: Scores pour le vent: 82T8 contre PA, par rapport aux a l'analyse ECMWF

FORCE DU VENT:PA.r 00/AC-P82T8.r 00/AC

(0.2 m/s)

16 simulations (500 hPa) de 102 h du 20090208 au 20090227

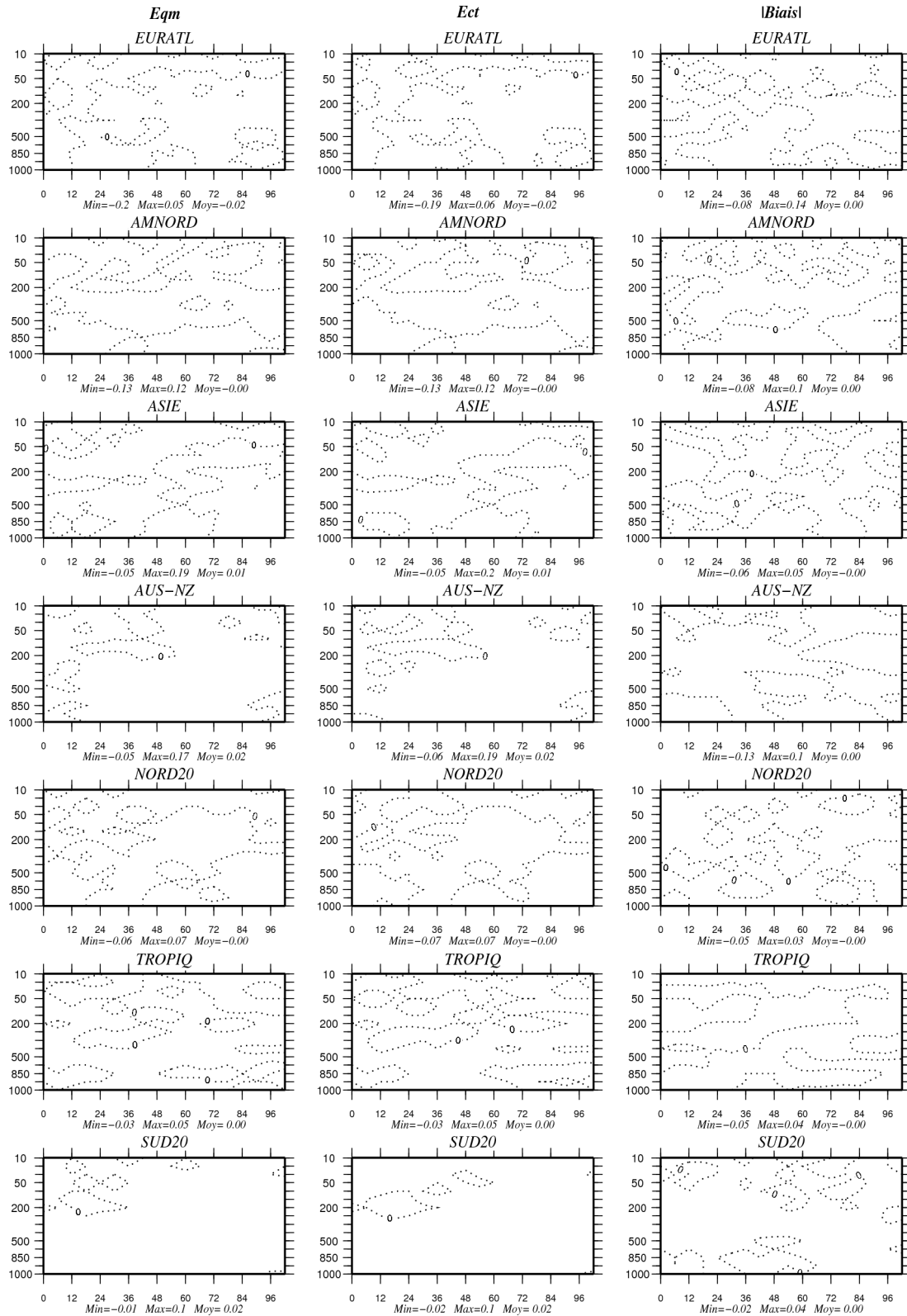


Figure 34: Scores pour la force du vent: 82T8 contre PA, par rapport a l'analyse FCMWF

GEOPOTENTIEL:P82TC.r 00/AC-P82T8.r 00/AC

(1. m)

16 simulations (500 hPa) de 102 h du 20090208 au 20090227

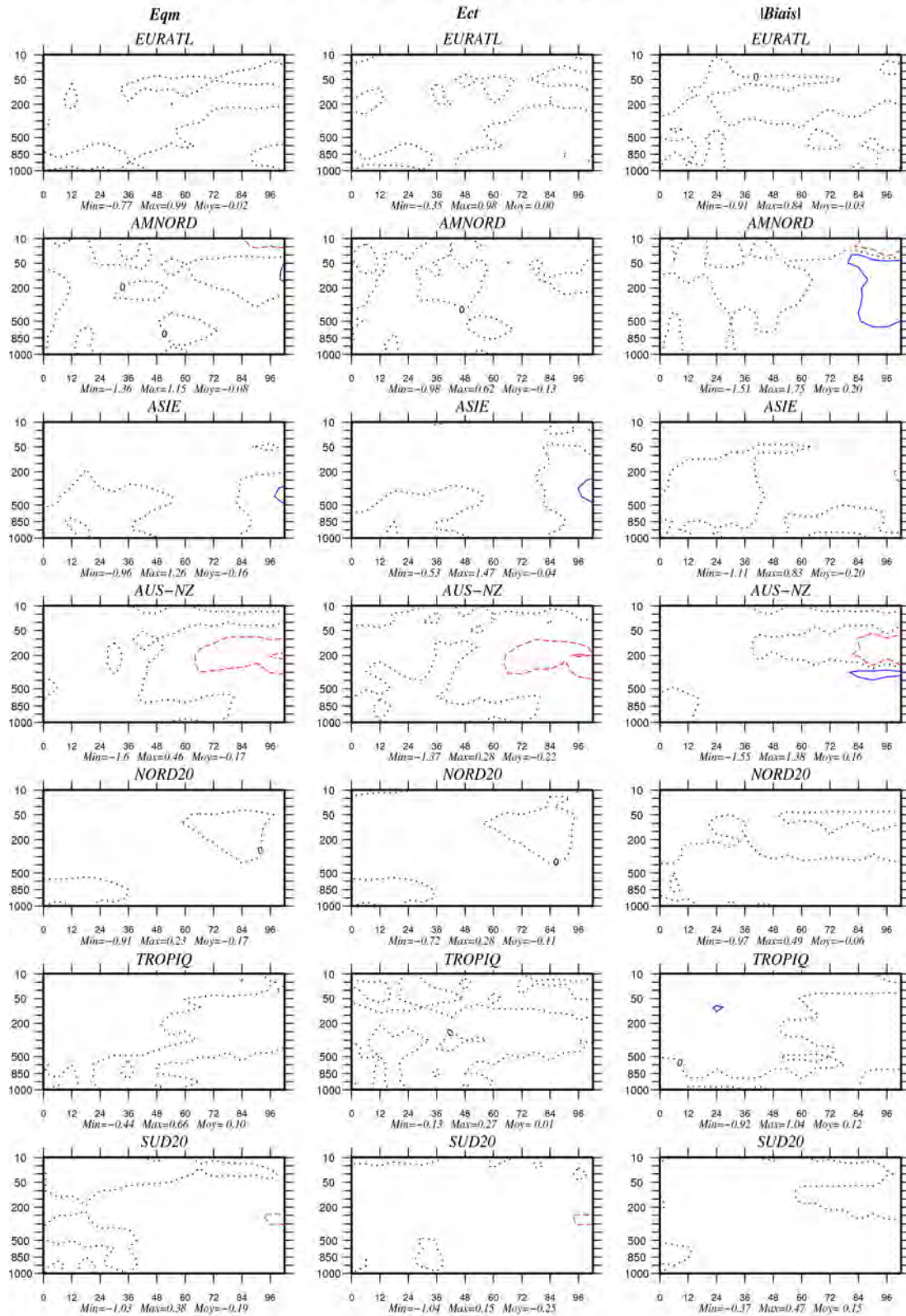


Figure 35: Scores pour le geopotentiel: 82TC contre 82T8, par rapport a l'analyse ECMWF

HUMIDITE:P82TC.r 00/AC-P82T8.r 00/AC

(1. %)

16 simulations (500 hPa) de 102 h du 20090208 au 20090227

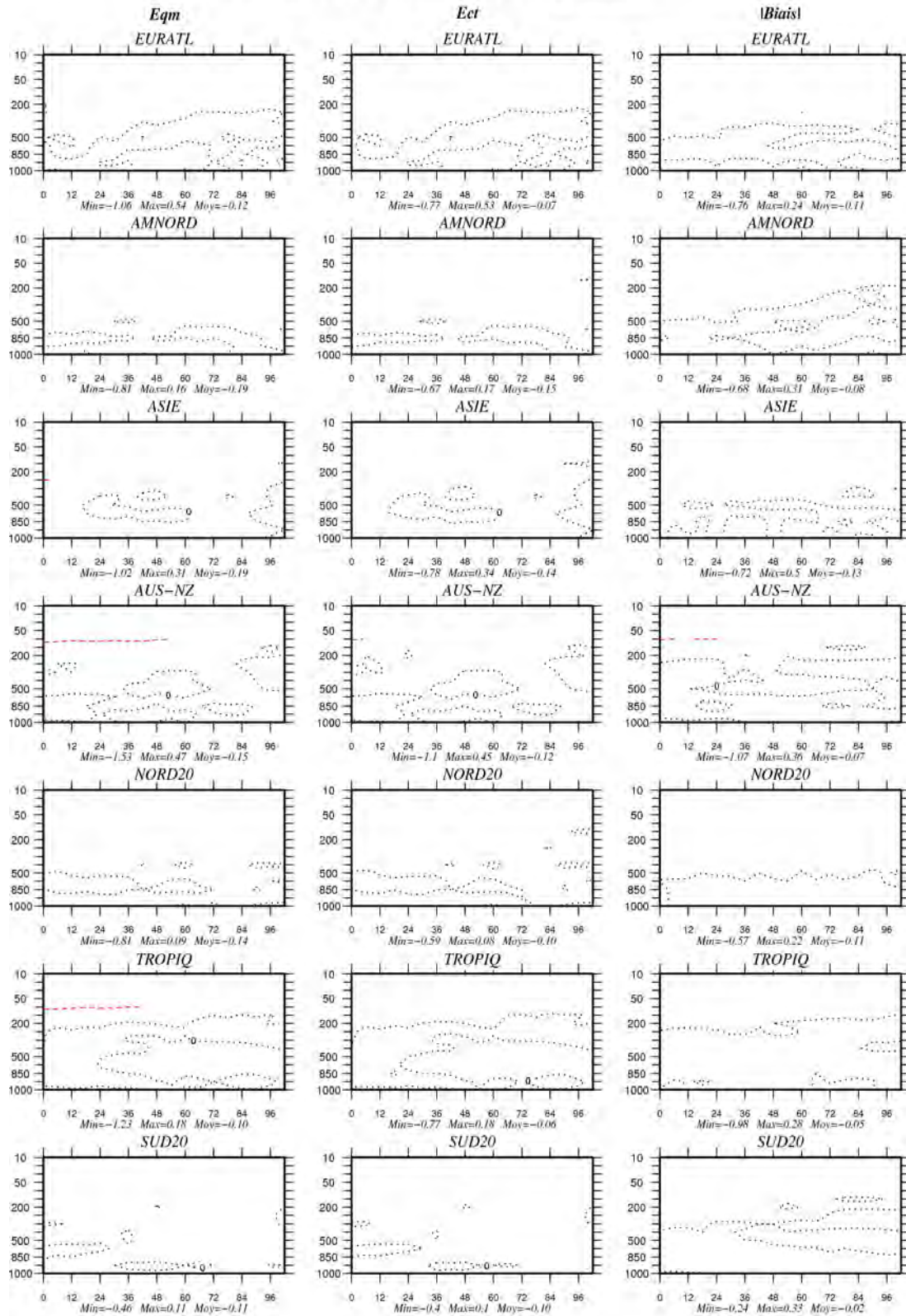


Figure 36: Scores pour l'humidité spécifique: 82TC contre 82T8, par rapport à l'analyse ECMWF

TEMPERATURE:P82TC.r 00/AC-P82T8.r 00/AC

(0.05 K)

16 simulations (500 hPa) de 102 h du 20090208 au 20090227

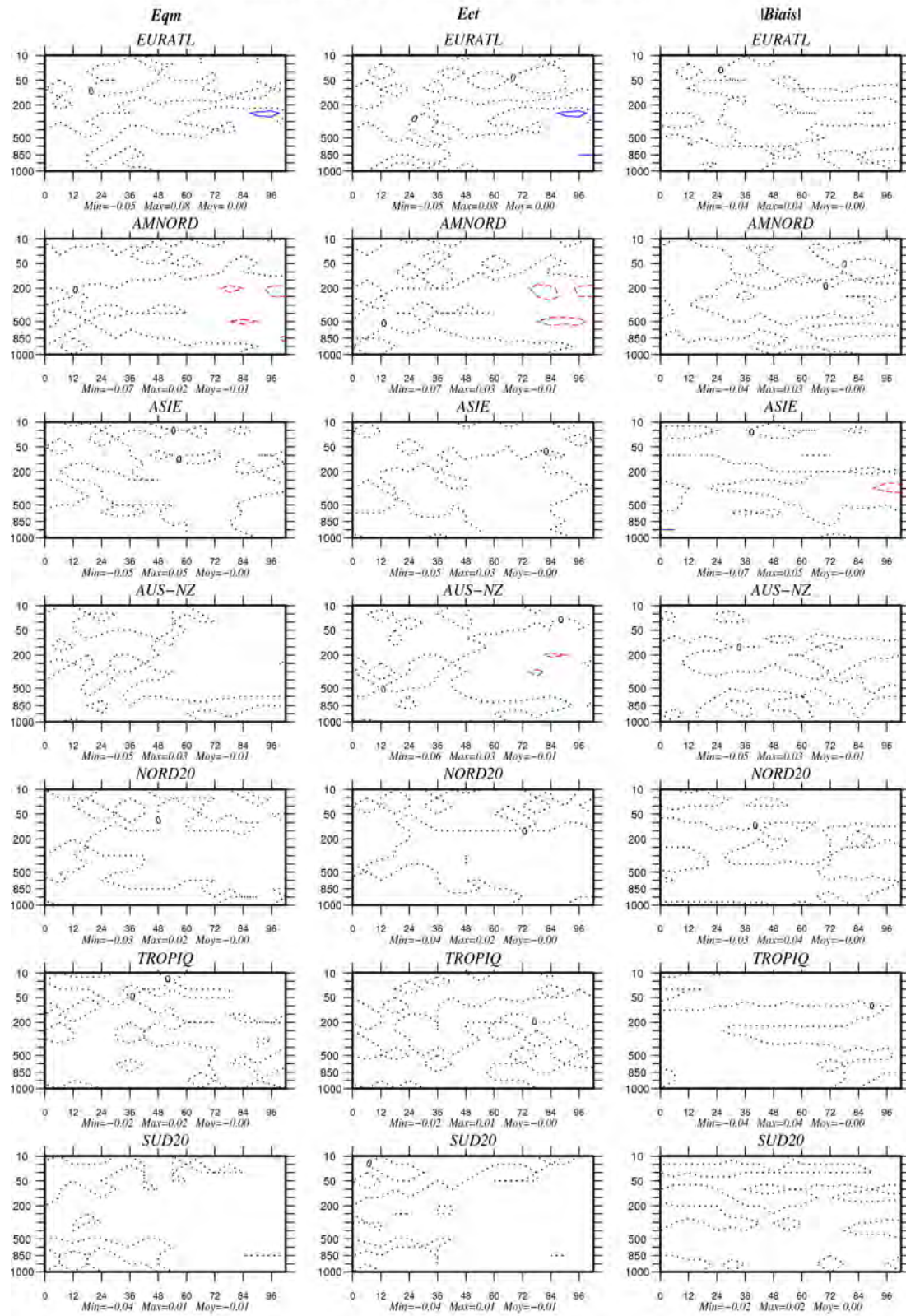


Figure 37: Scores pour la température: 82TC contre 82T8, par rapport à l'analyse ECMWF

VENT:P82TC.r 00/AC-P82T8.r 00/AC

(0.2 m/s)

16 simulations (500 hPa) de 102 h du 20090208 au 20090227

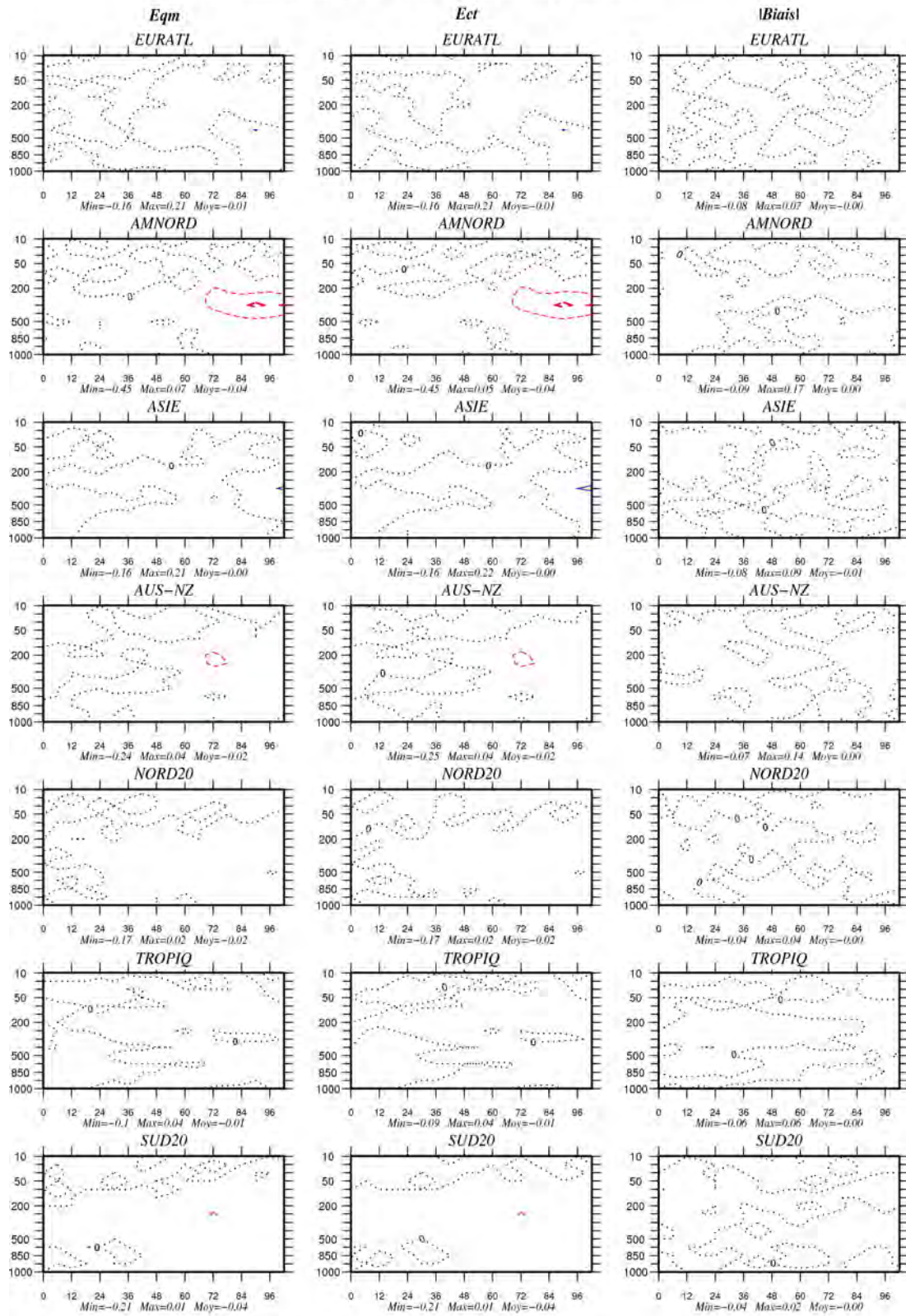


Figure 38: Scores pour le vent: 82TC contre 82T8, par rapport aux a l'analyse ECMWF

FORCE DU VENT:P82TC.r 00/AC-P82T8.r 00/AC

(0.2 m/s)

16 simulations (500 hPa) de 102 h du 20090208 au 20090227

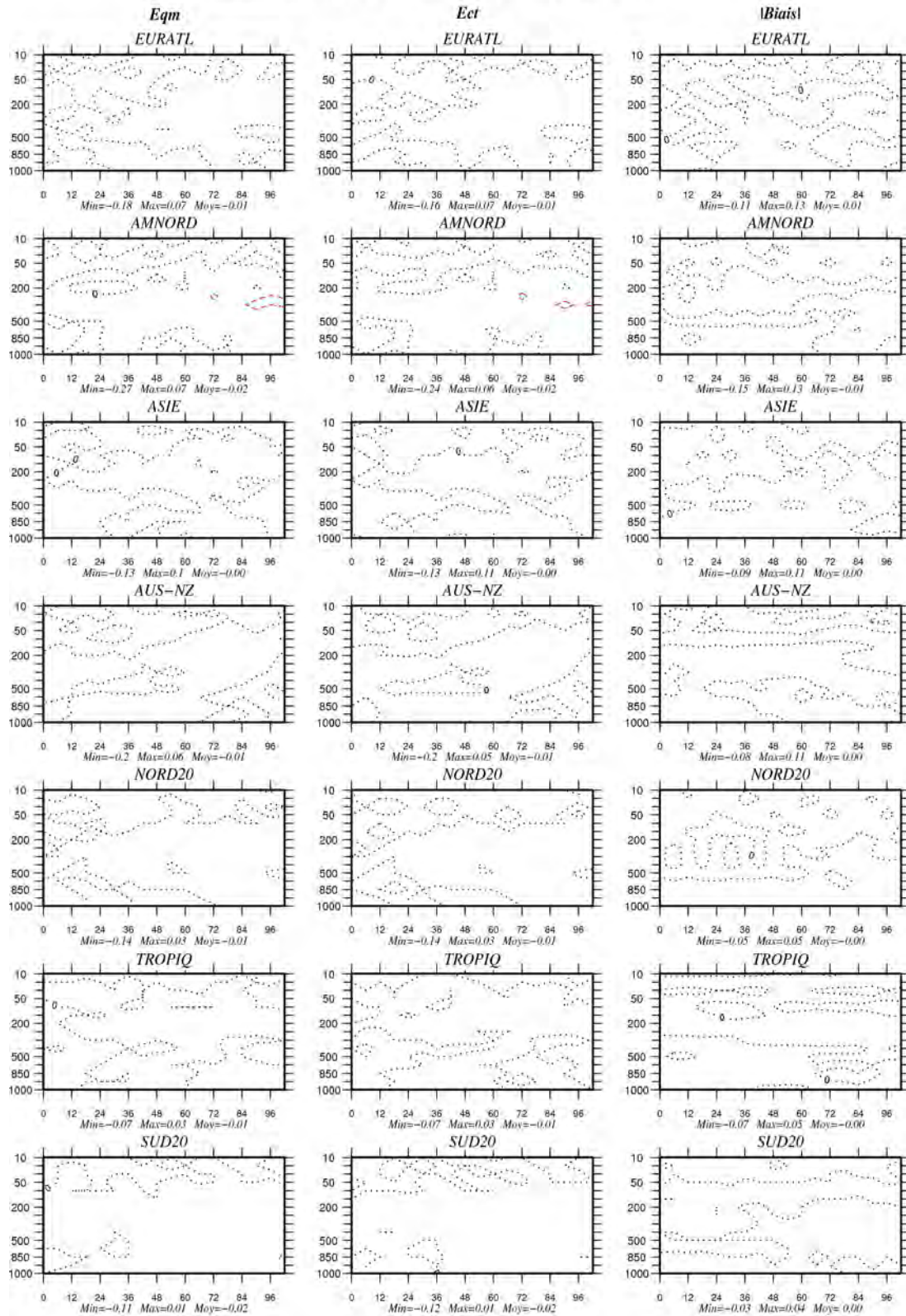


Figure 39: Scores pour la force du vent: 82TC contre 82T8, par rapport a l'analyse ECMWF